

1/29

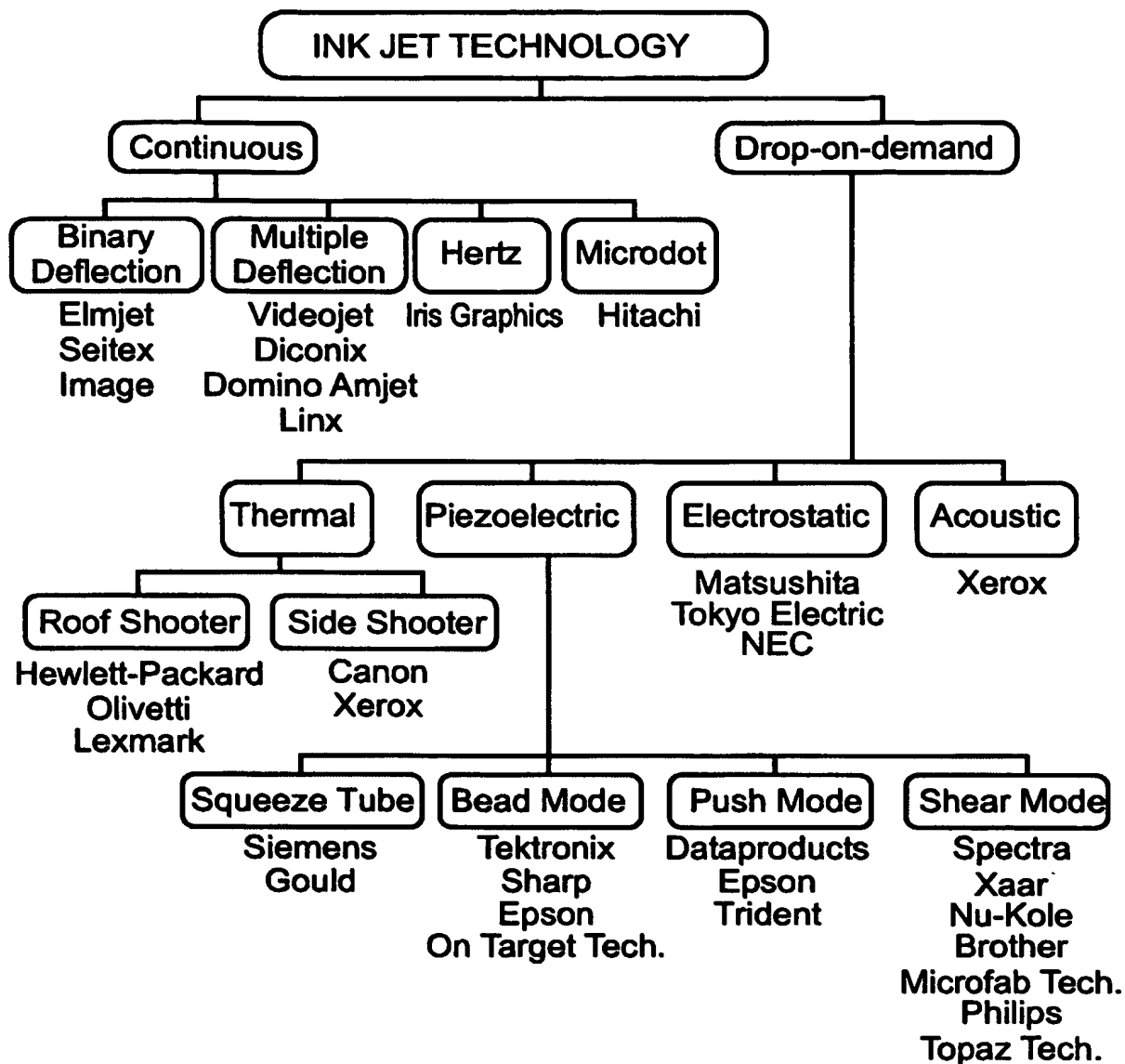
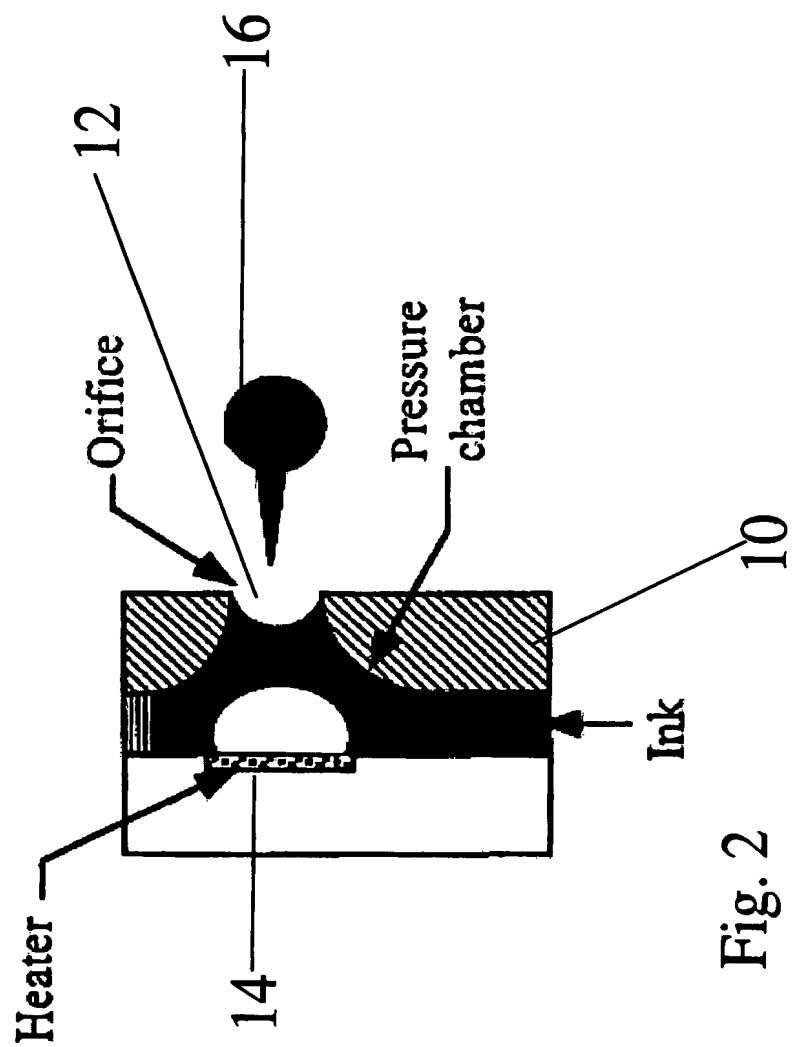
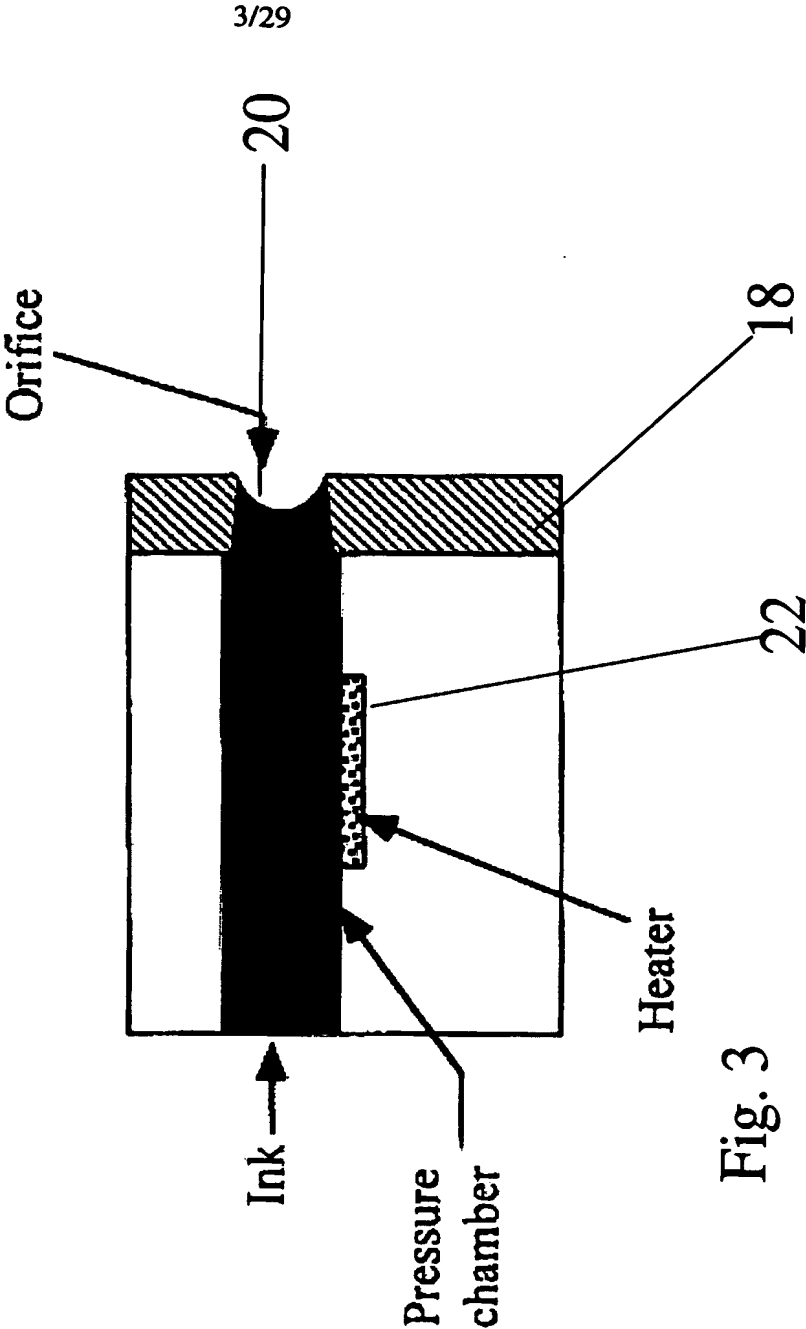


Fig. 1

2/29





4/29

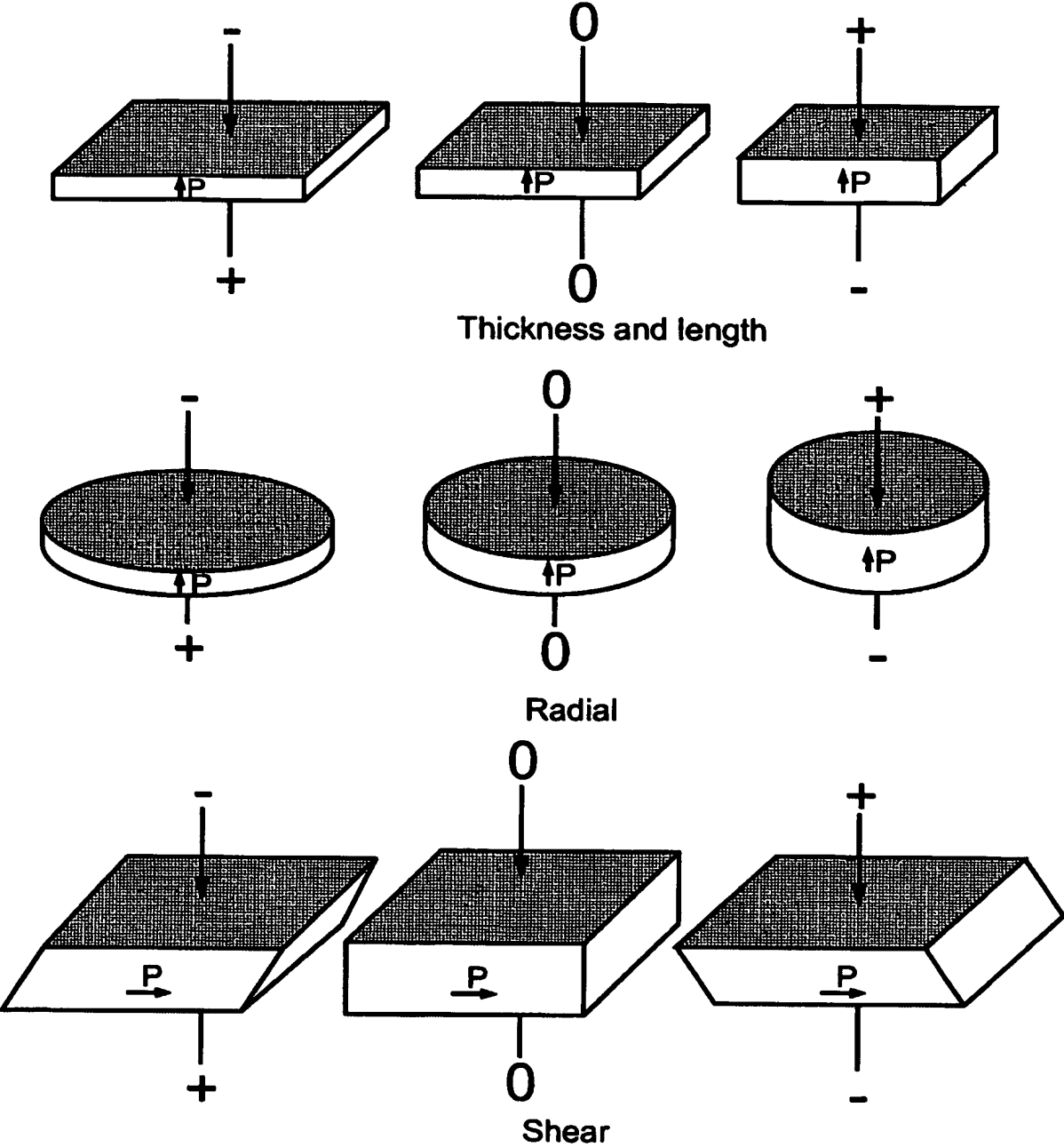


Fig. 4

5/29

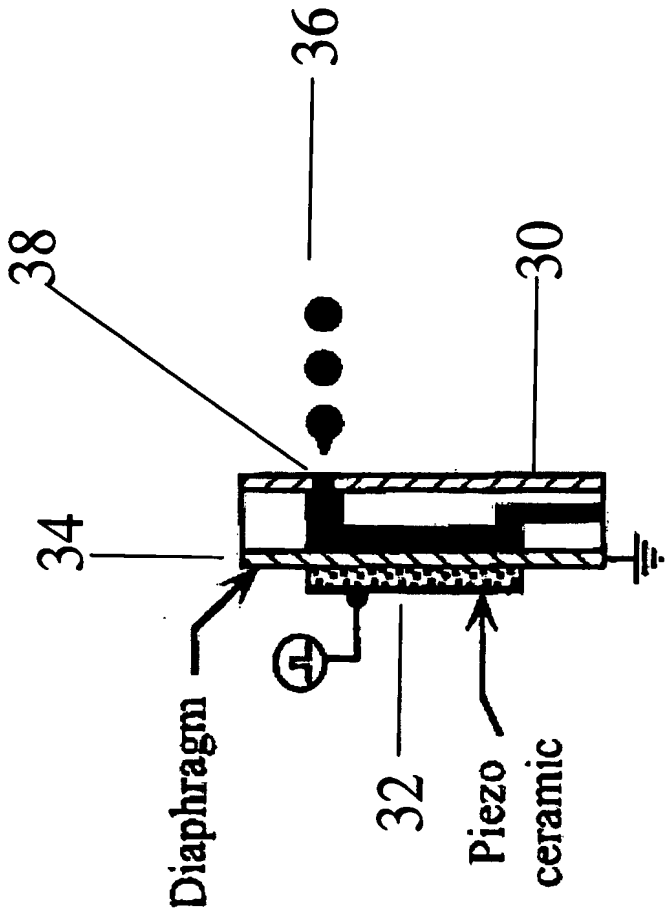


Fig. 5

6/29

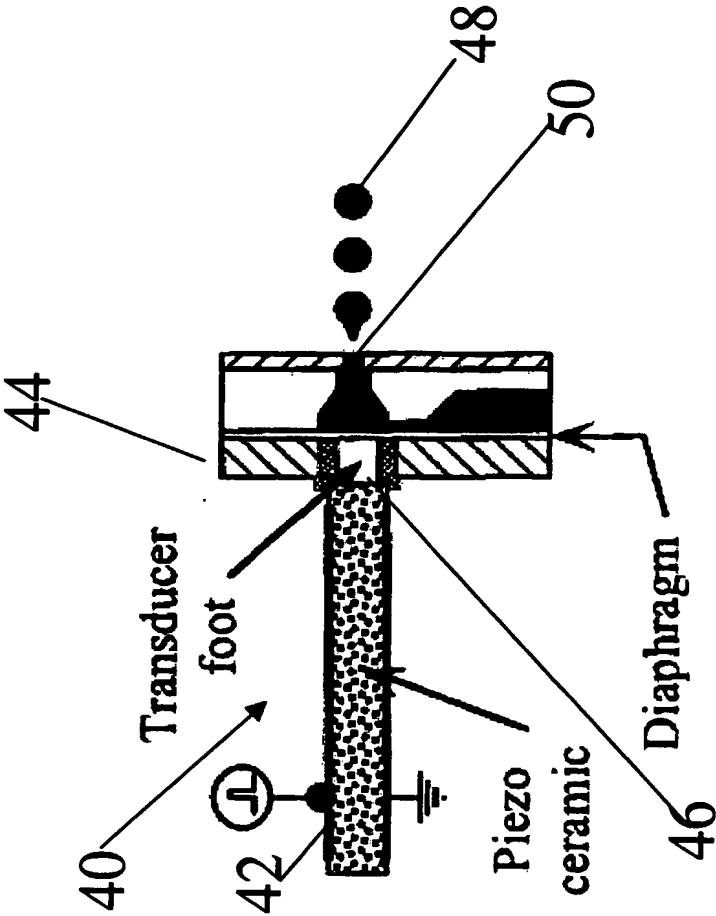


Fig. 6

7/29

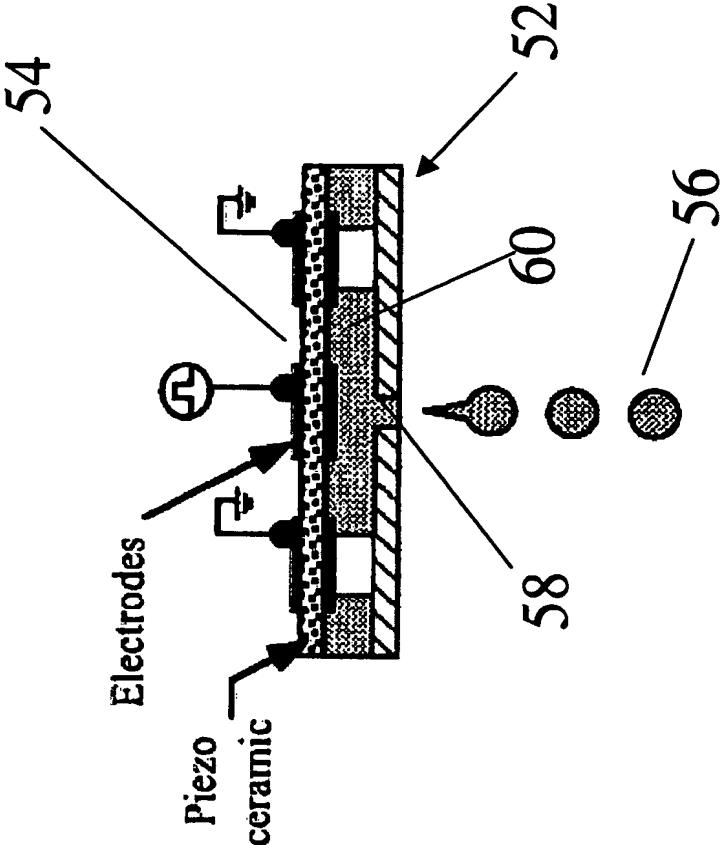


Fig. 7

8/29

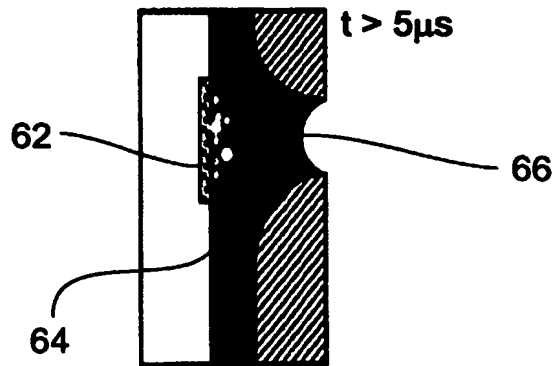


Fig. 8a

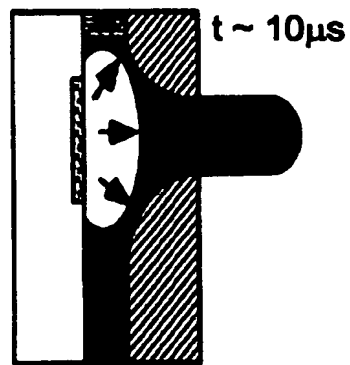


Fig. 8b

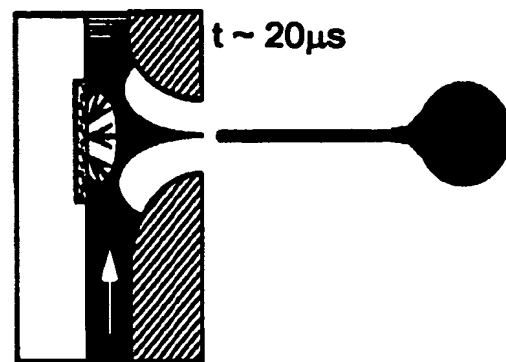


Fig. 8c



9/29

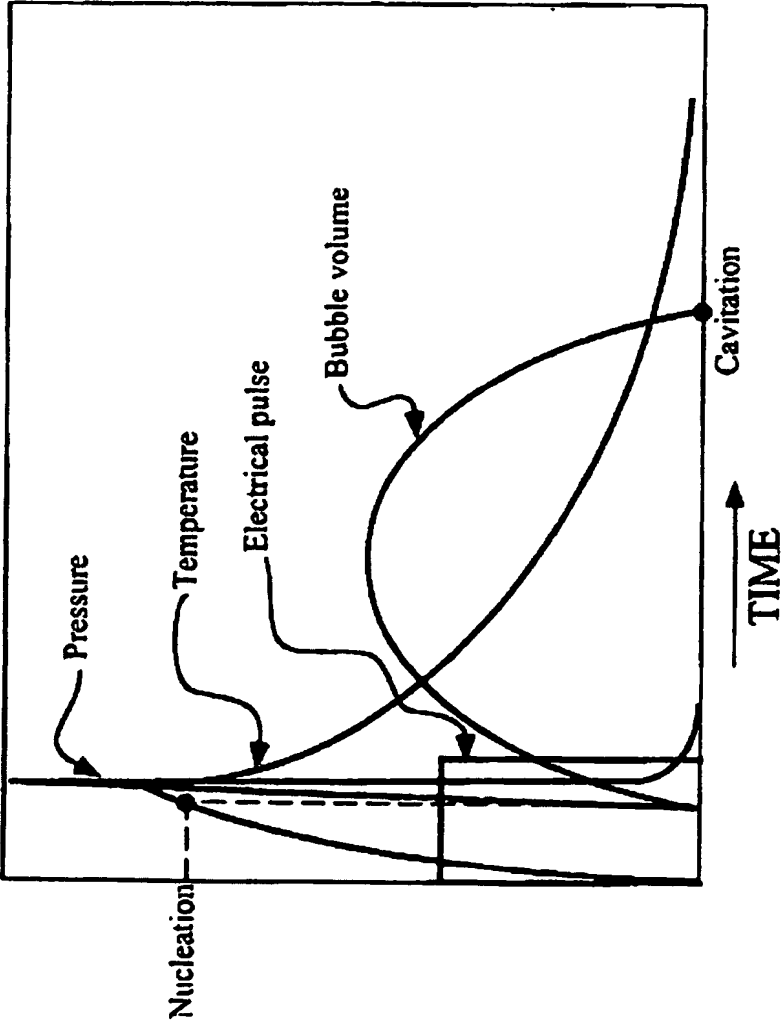
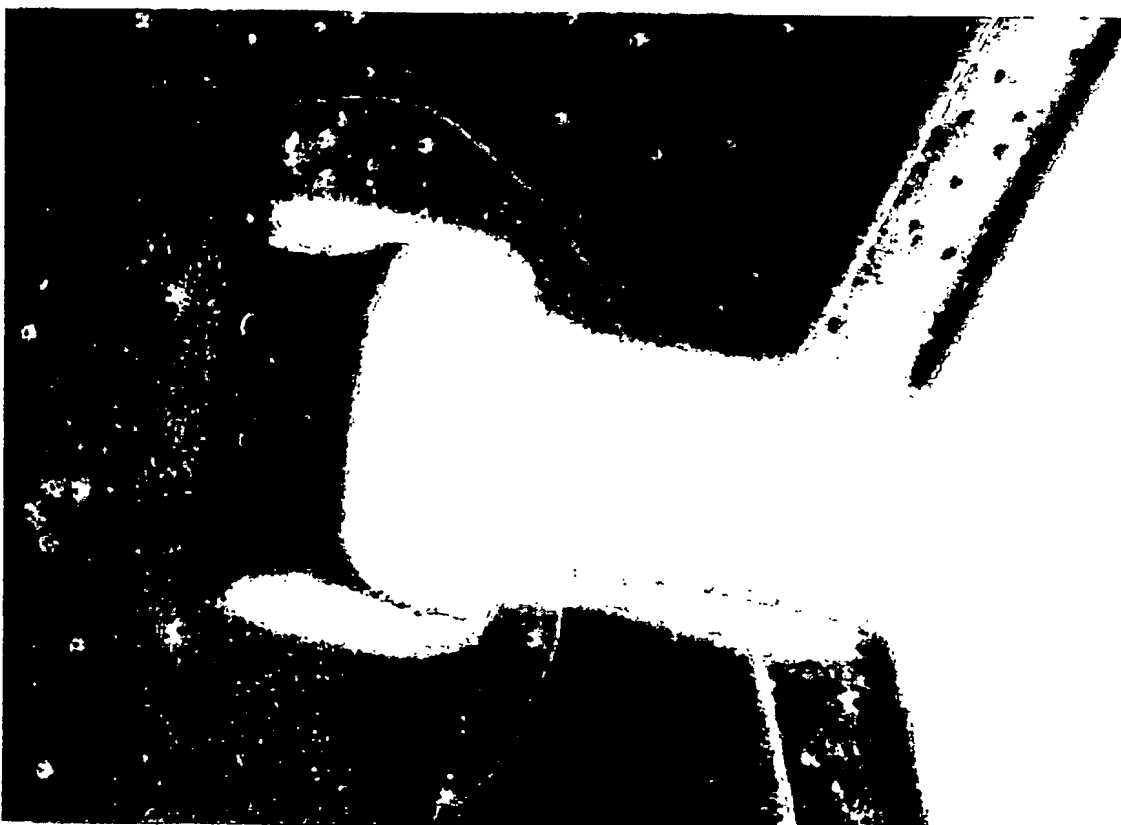


Fig. 9

Fig. 10

10/29



11/29

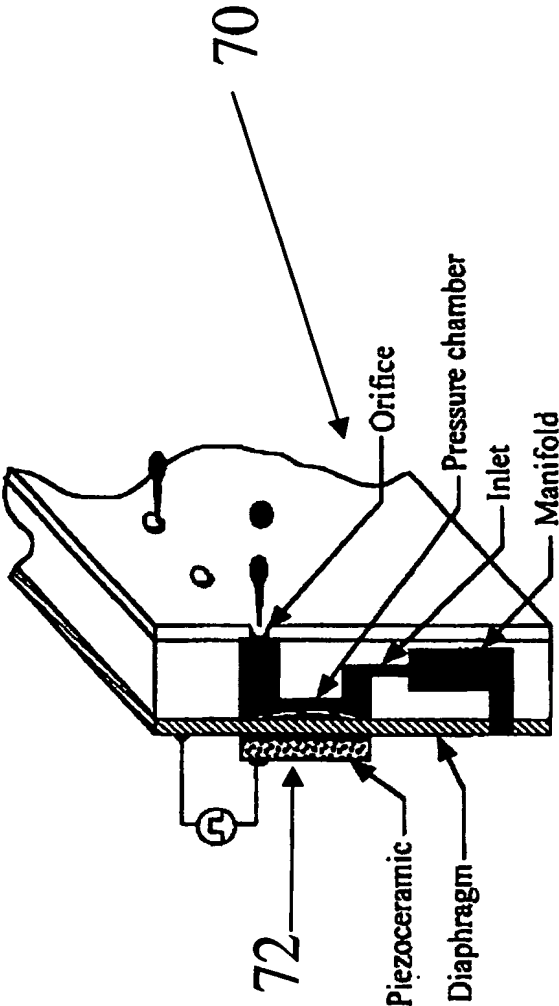


Fig. 11

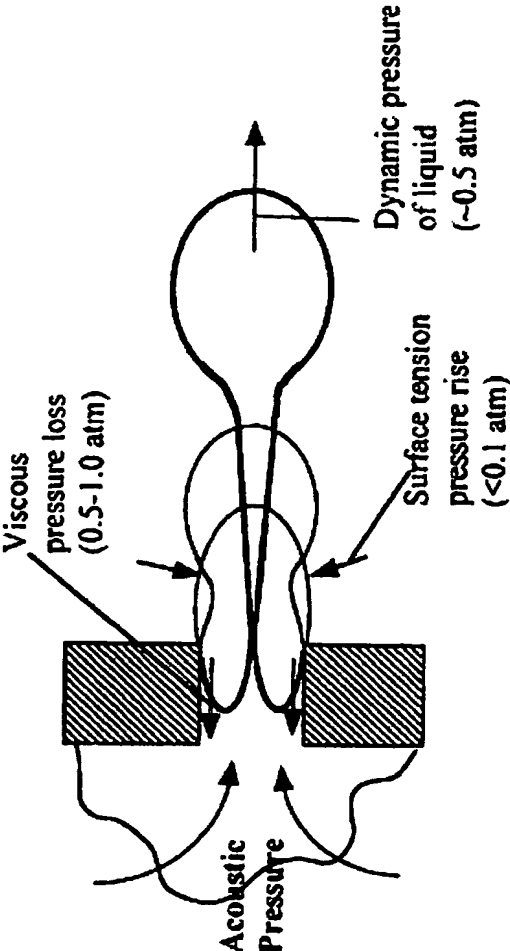


Fig. 12

12/29

## Break-off of Droplet IOV (50-85 us)

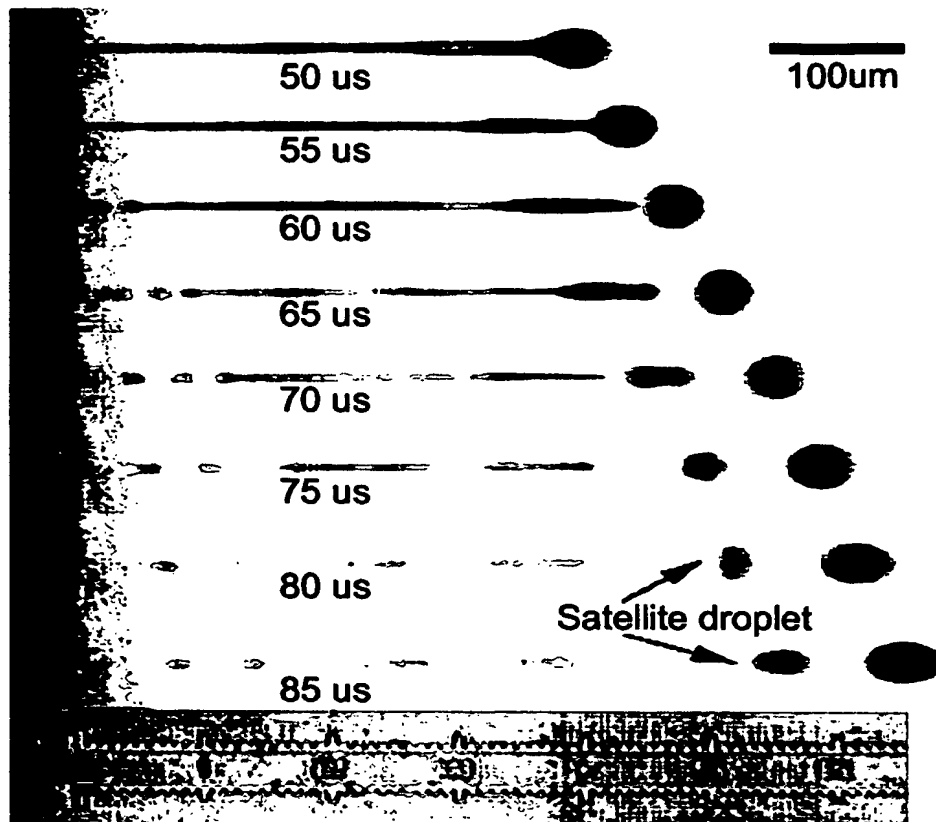


Fig. 13

13/29

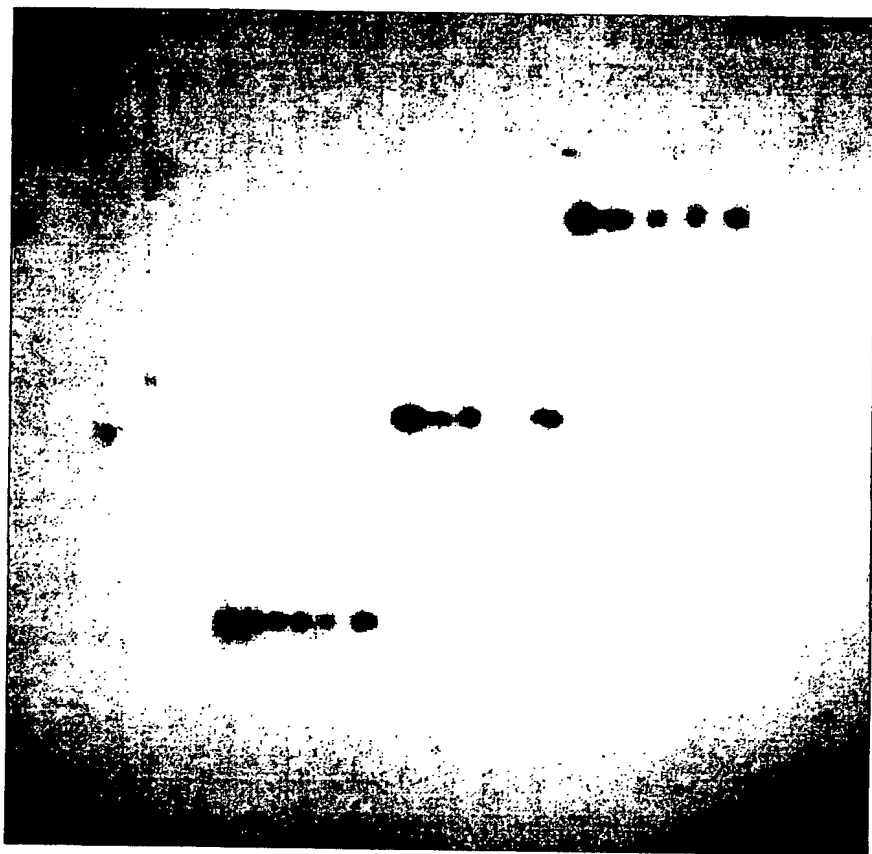


Fig. 14

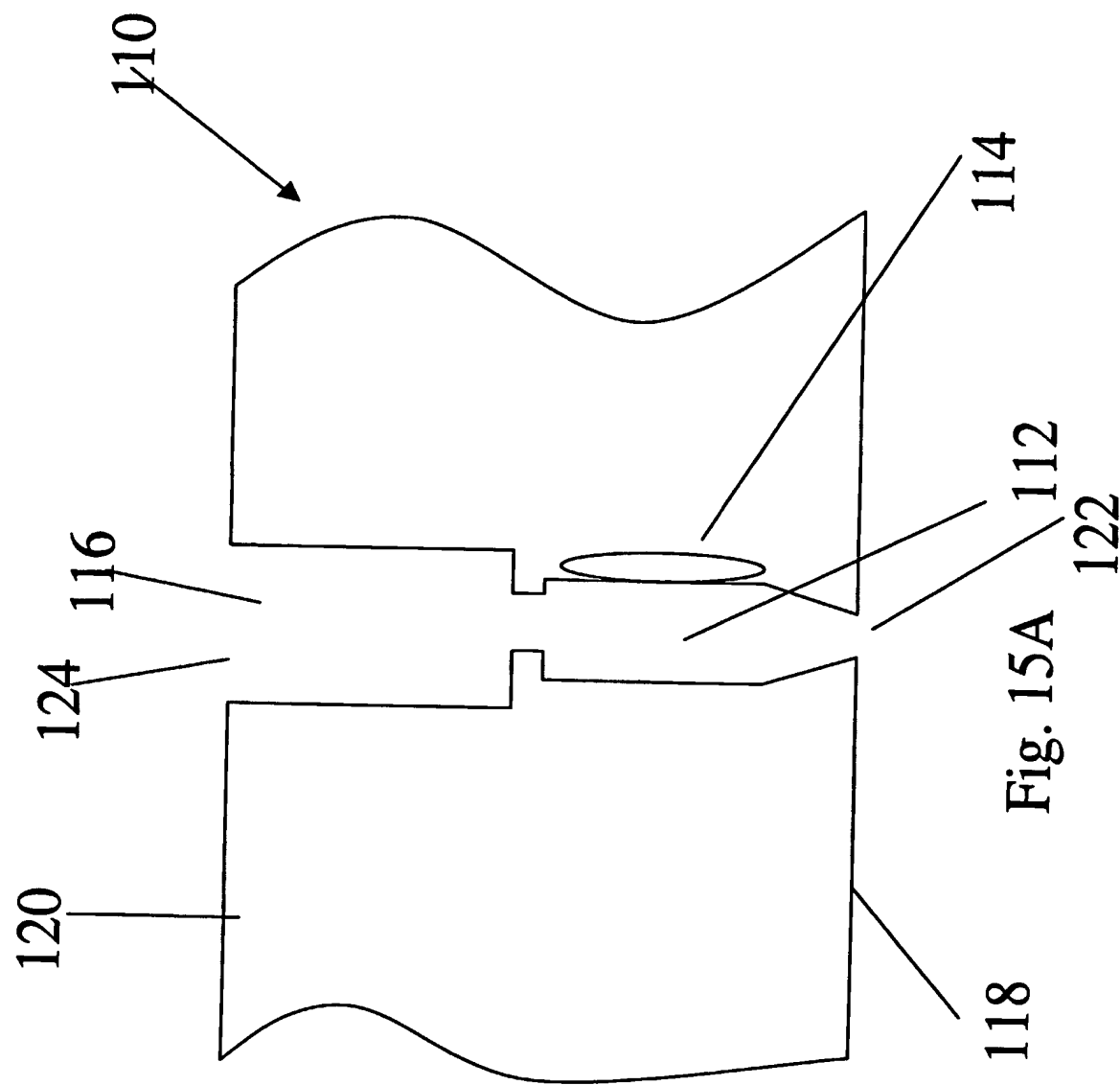


Fig. 15A

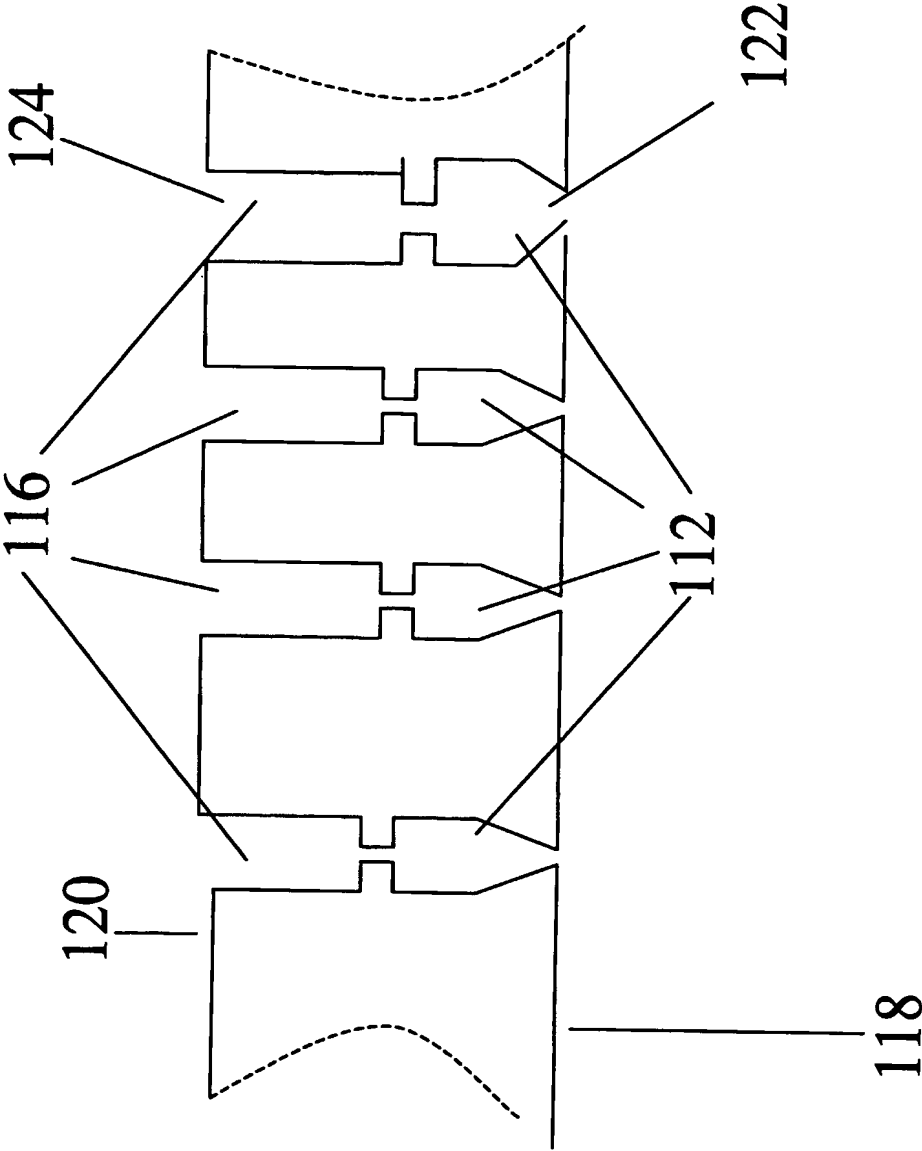


Fig. 15B

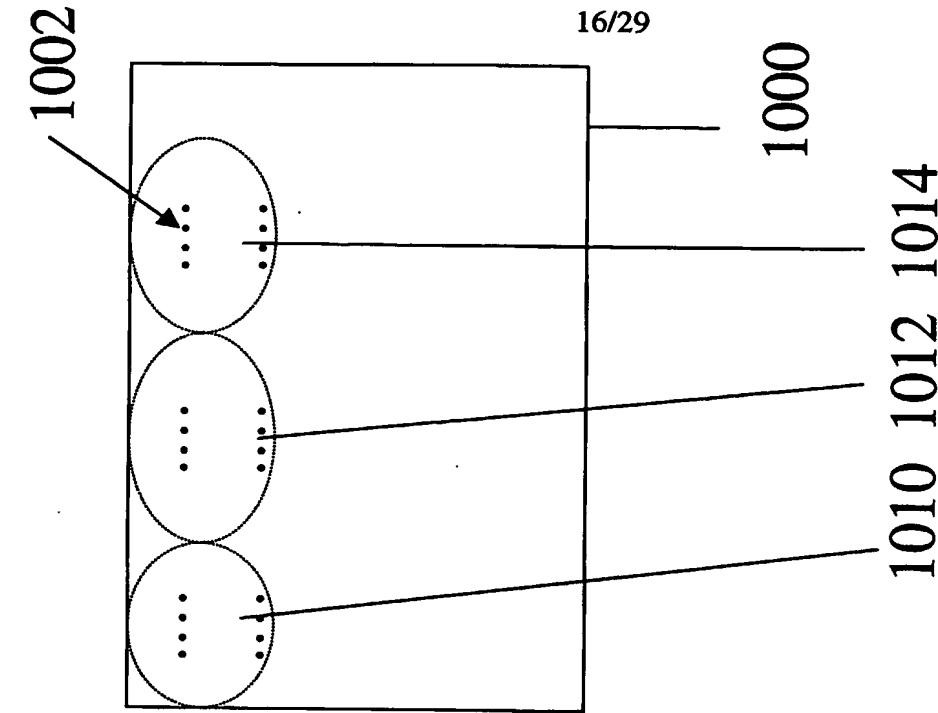


Fig. 16A

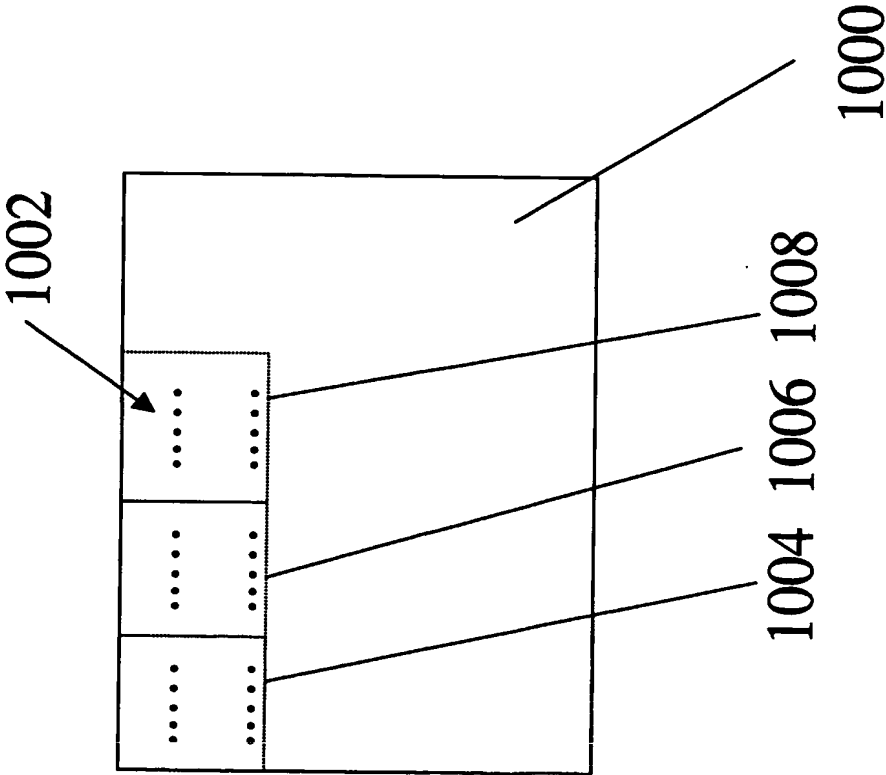


Fig. 16B



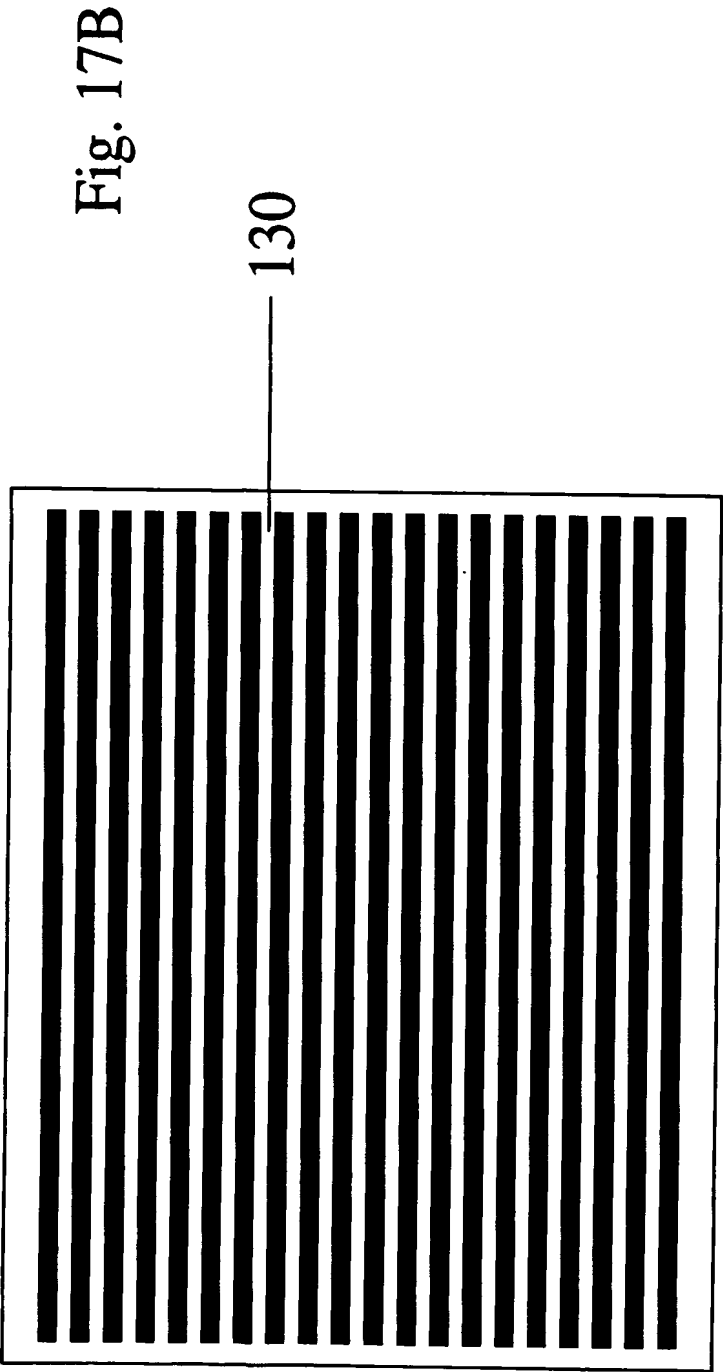
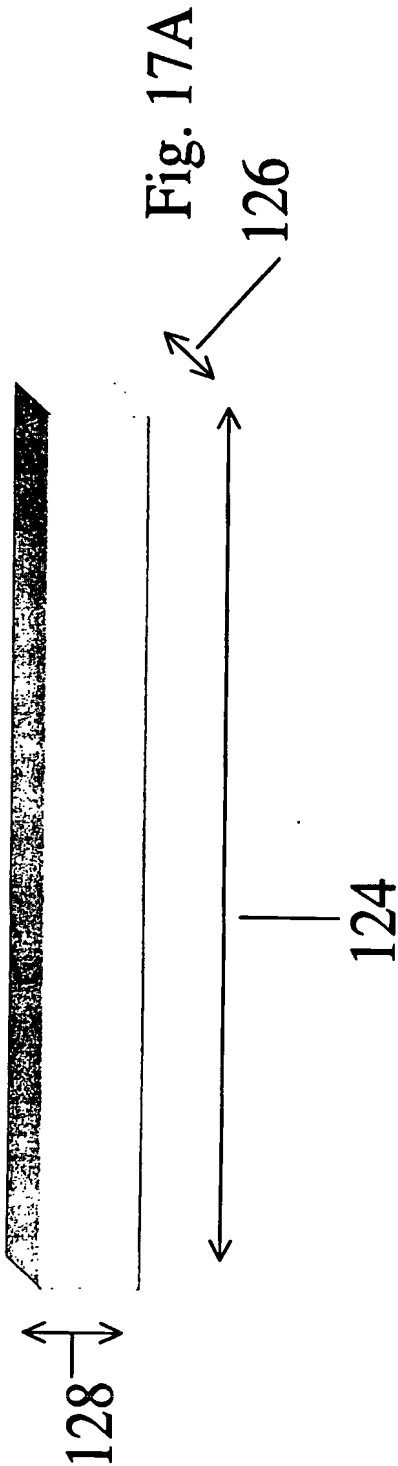


Fig. 17C

1050

18/29

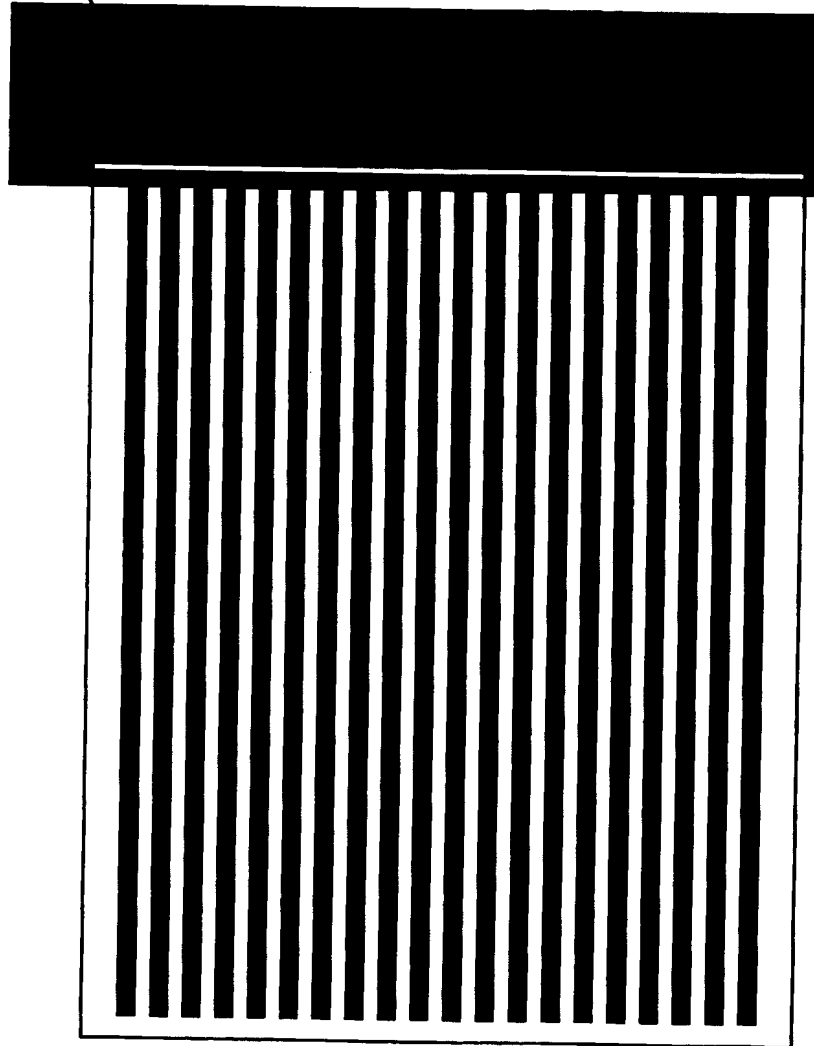


Fig. 18

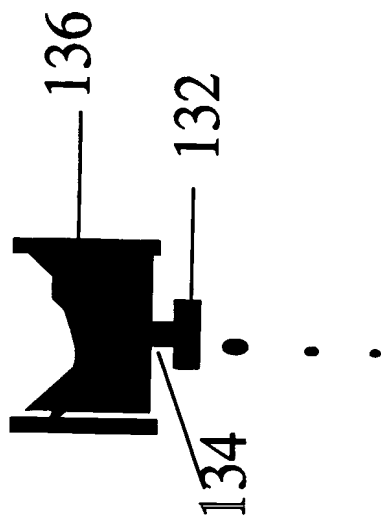


Fig. 19

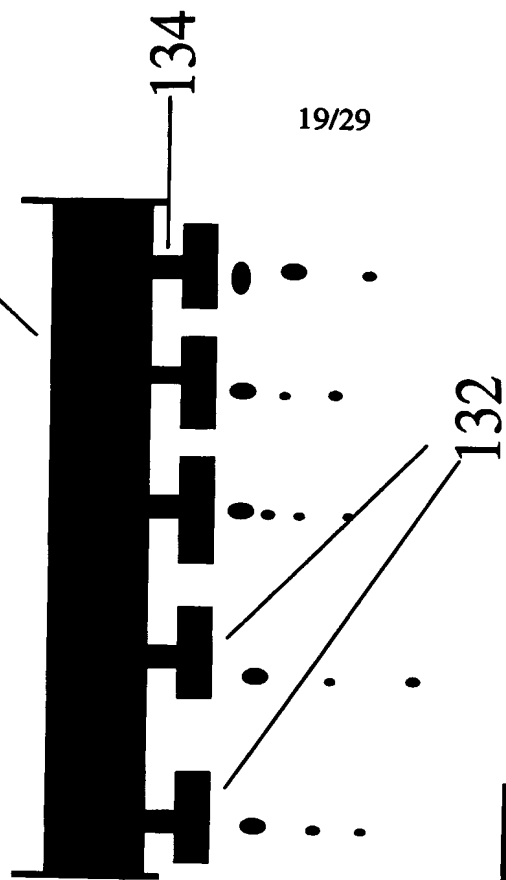


Fig. 20



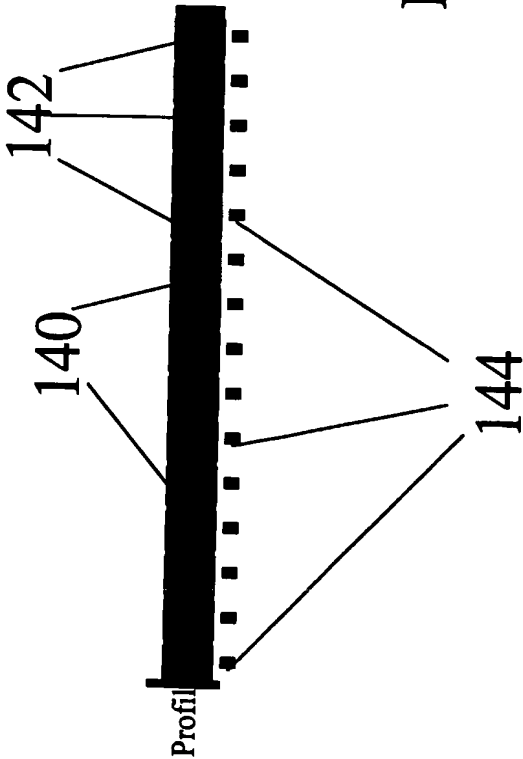


Fig. 21A

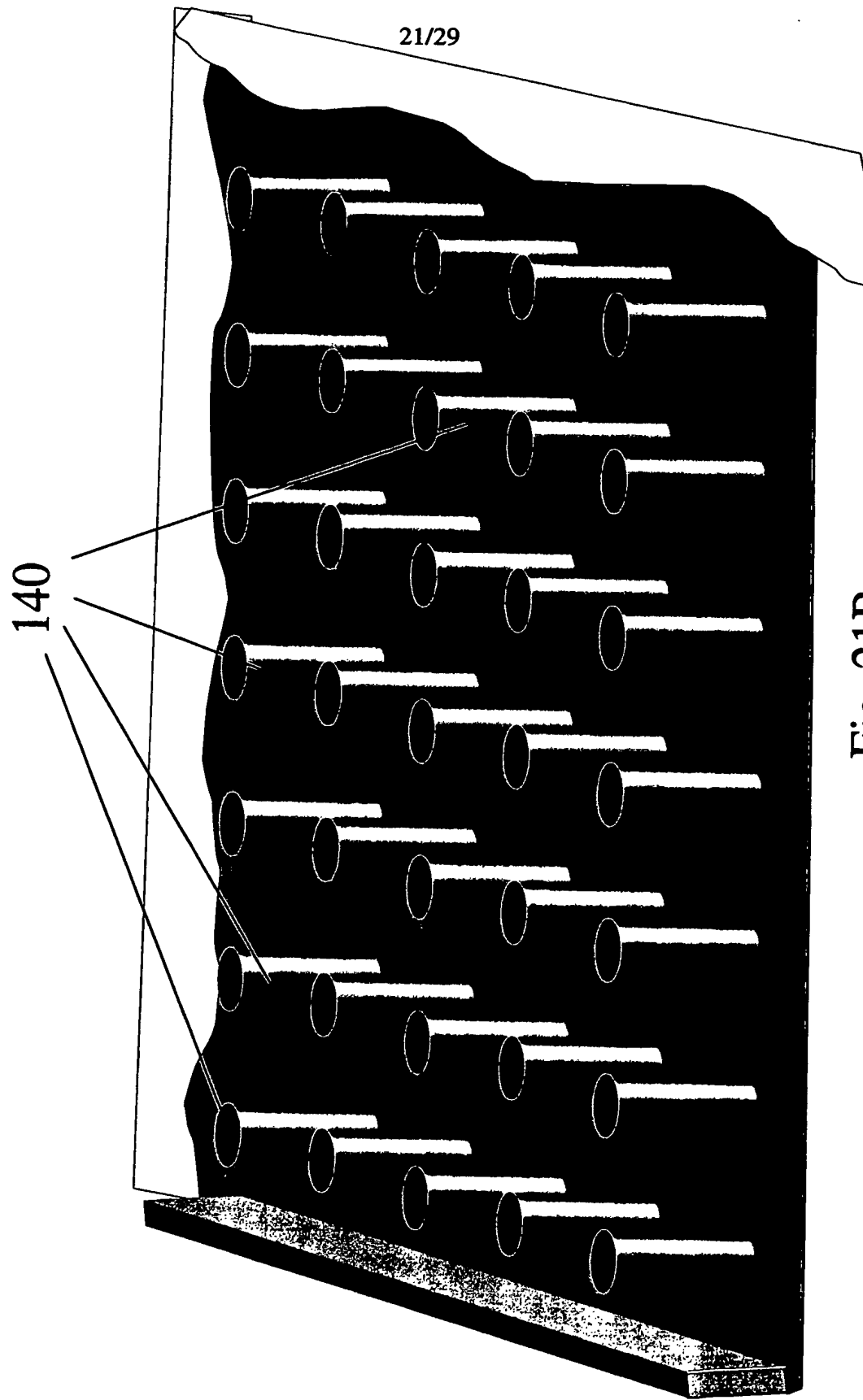
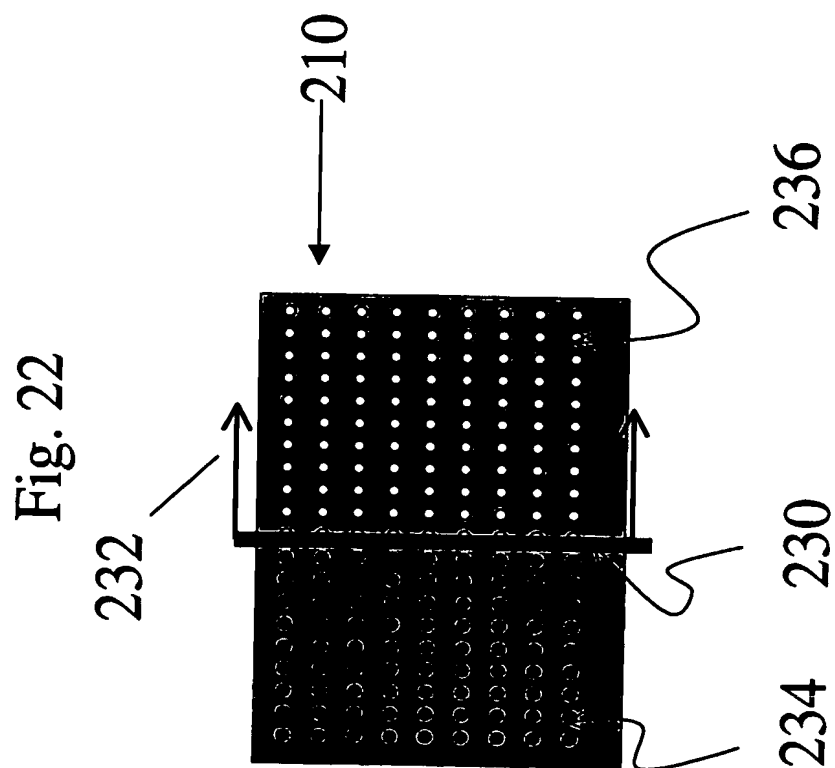


Fig. 21B

22/29



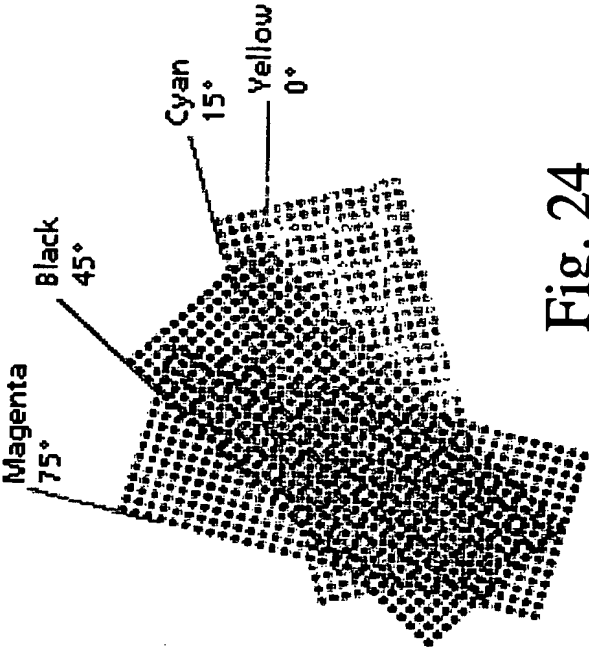
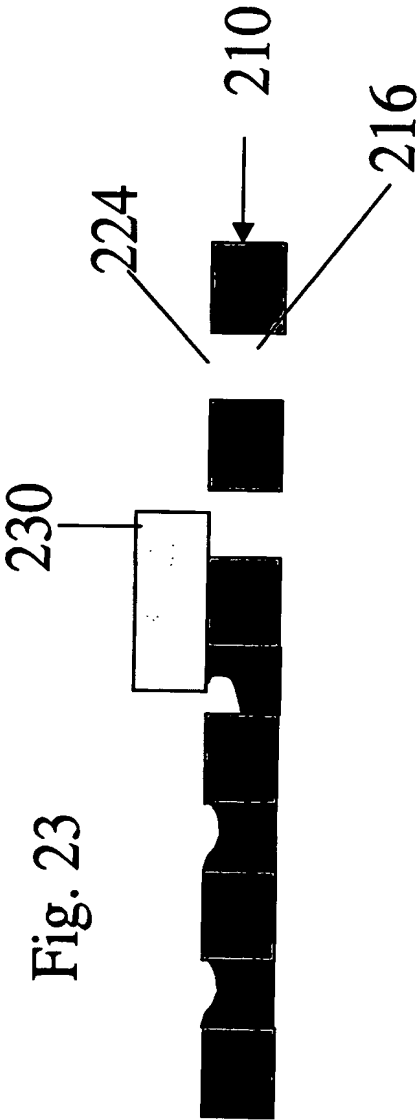


Fig. 24

24/29

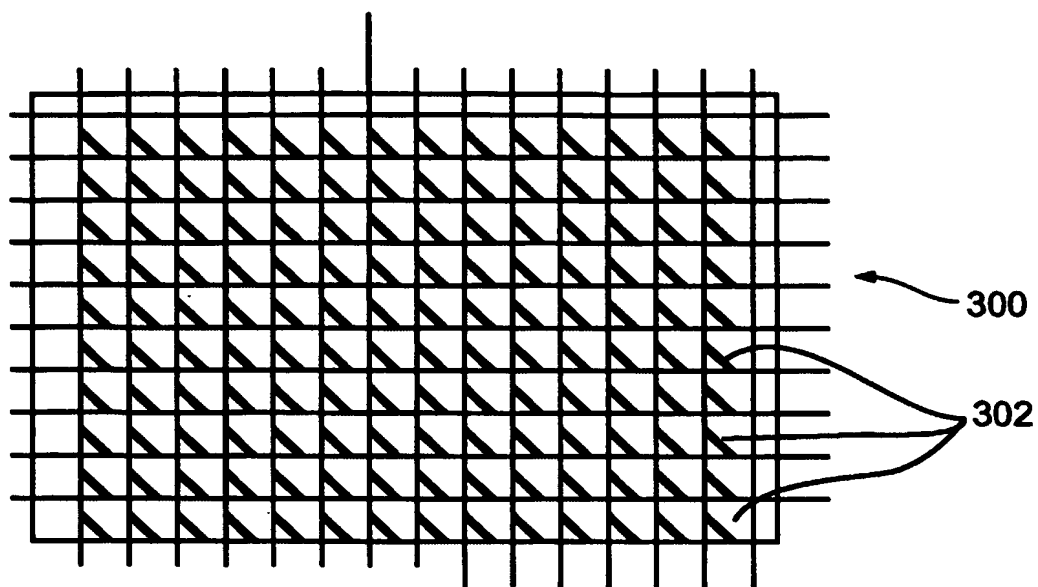


Fig. 25

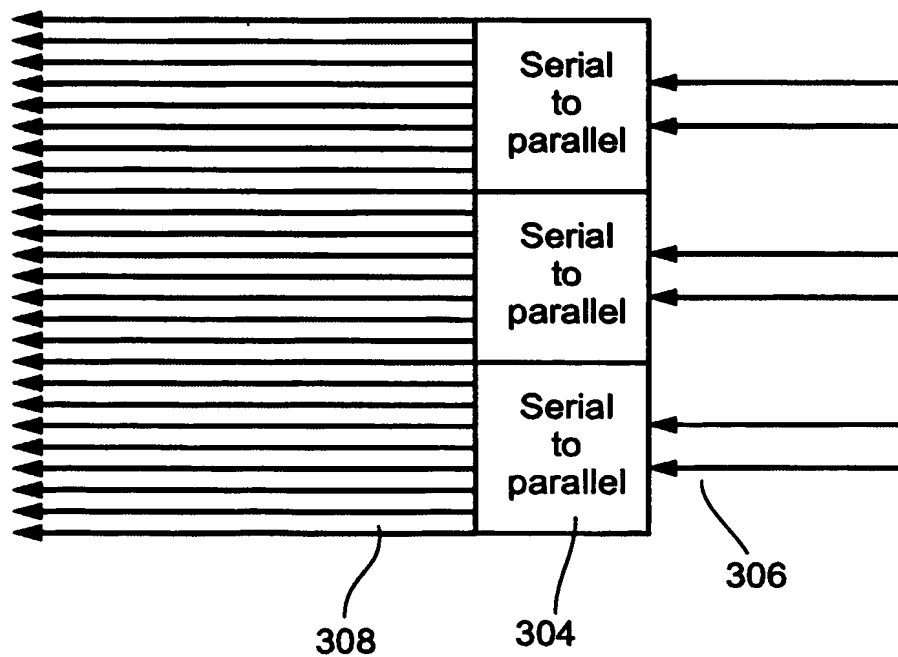


Fig. 26



25/29

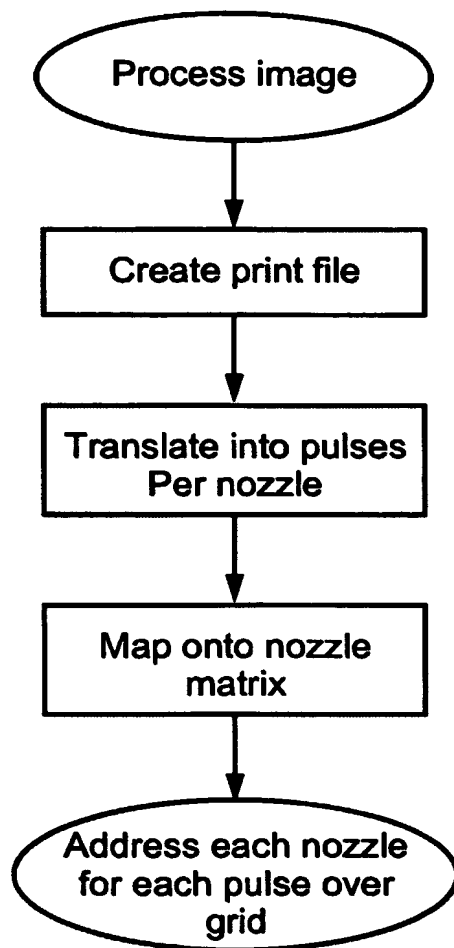


Fig. 27

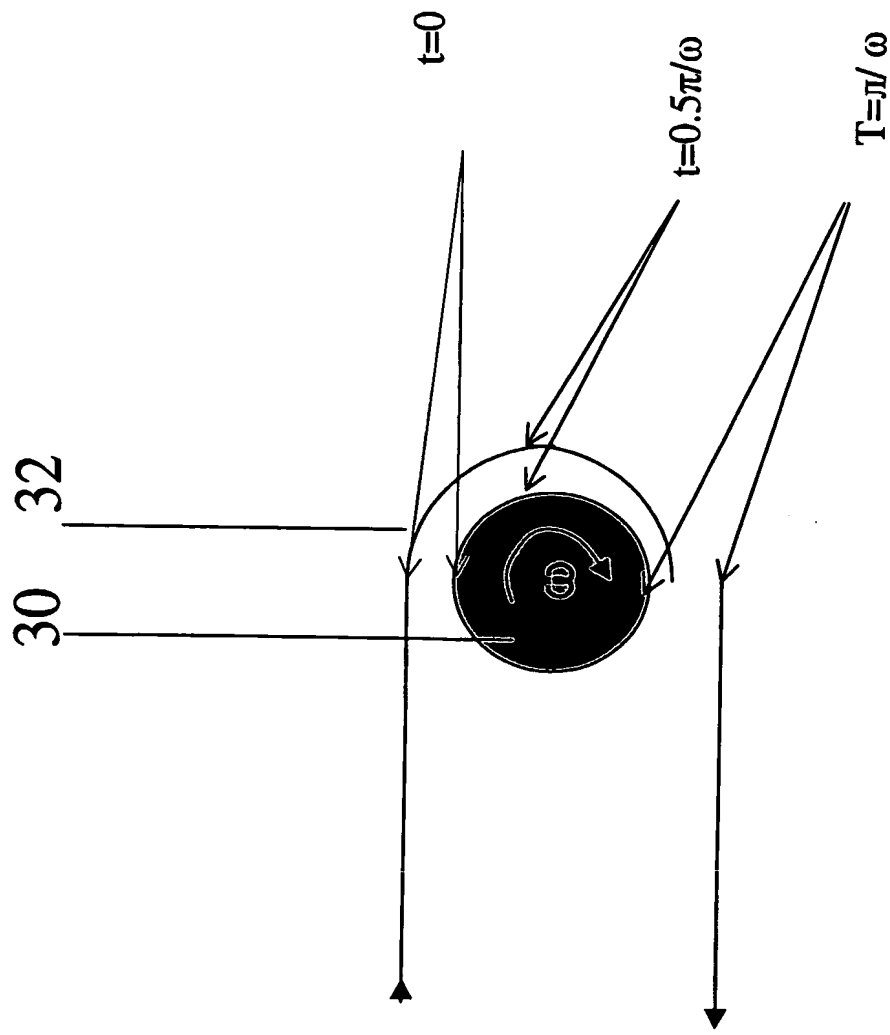


Fig. 28

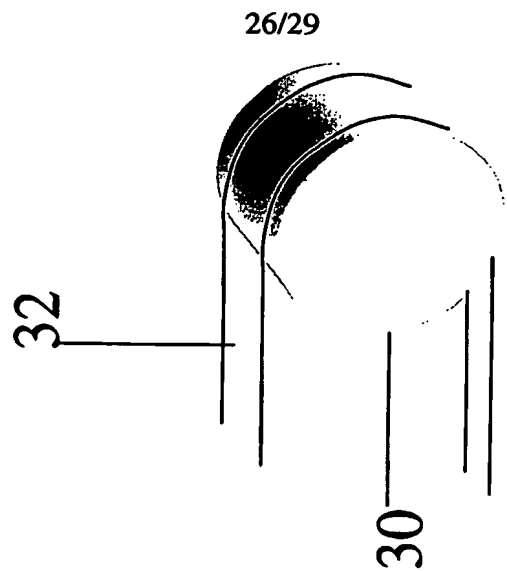


Fig. 29

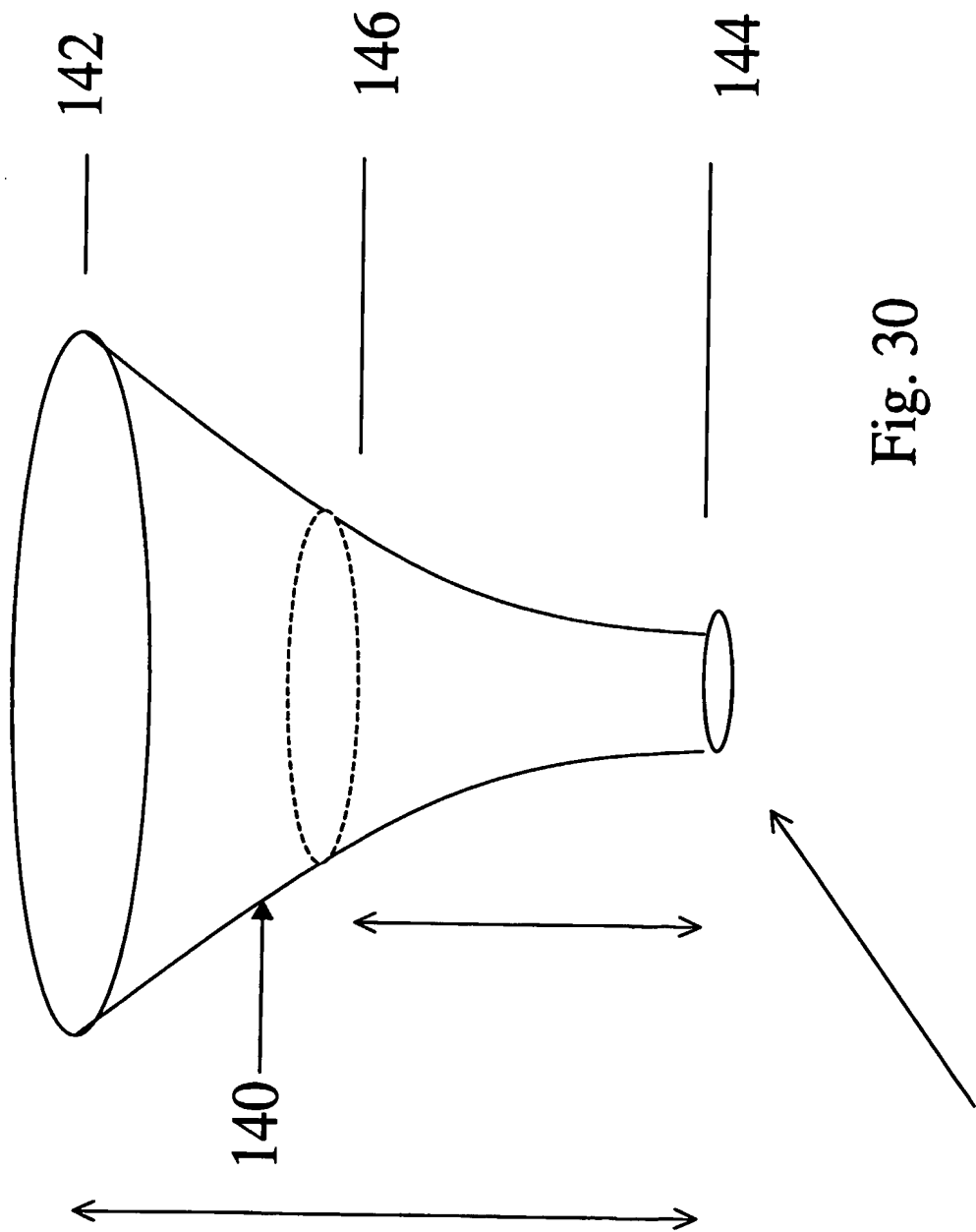


Fig. 30

28/29

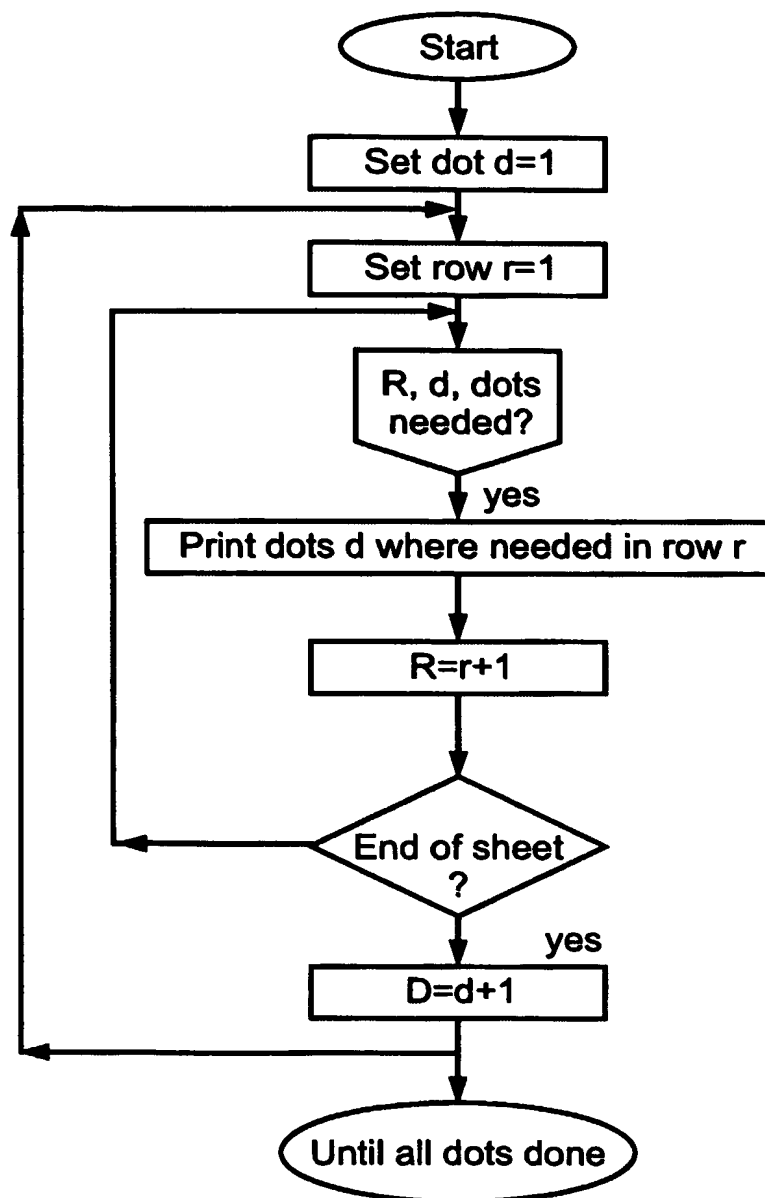


Fig. 31

